

سنتز کمپلکس سالن ثبیت شده بر روی نانوذرات مغناطیسی کبالت فریت - هیدروکسی آپاتیت و کاربرد آن در تهیه ترکیبات اسپیرواکسیندولها

محمدعلی ناصری*، بتول ذاکری نسب، اعظم حبیب اللهی

گروه شیمی، دانشکده علوم پایه، دانشگاه بیرجند، بیرجند، ایران.

چکیده: در این پژوهش با توجه به اهمیت استفاده از نانوکاتالیست‌ها در واکنش‌های آلی، کمپلکس سالن مس ثبیت شده بر روی نانوذرات مغناطیسی کبالت فریت - هیدروکسی آپاتیت سنتز و با استفاده از روش‌های مختلف از جمله SEM، FT-IR، ICP، XRD و غیره شناسایی گردید. فعالیت کاتالیزگر در واکنش چند جزئی به منظور سنتز مشتقات اسپیرواکسیندول بررسی شد و محصولات با بازده بالا تهیه گردید. عدم استفاده از حلال‌های سمی، سهولت بازیافت و قابلیت استفاده مجدد از کاتالیزگر و عدم تشکیل محصولات جانبی، از مزایای این روش می‌باشد.

واژگان کلیدی: کاتالیزگر، کمپلکس سالن، نانوذرات مغناطیسی، نانو کمپلکس‌ها، اسپیرواکسیندول‌ها.

manasseri@birjand.ac.ir

شیف باز مورد توجه بسیاری از محققان قرار گرفته است[۵۶-۵۷]. این نانو کاتالیزگرهای مغناطیسی به دلیل خواص منحصر به فرد خود مانند سطح در دسترس بالا، پایداری حرارتی عالی و جداسازی آسان(با استفاده از آهنربای خارجی) مورد توجه هستند[۷۸].

استفاده از هیدروکسی آپاتیت(HAP) به عنوان یک ماده کاتالیزگر سبز در شیمی آلی در واقع به دلیل خواص متنوع، توجه زیادی را به خود جلب کرده است. هیدروکسی آپاتیت علاوه بر زیست فعالی، دارای ویژگی‌های برجسته‌ای چون حلالیت کم در آب، زیست‌سازگاری، در دسترس بودن، پایداری بالا در هر دو شرایط احیا کننده و اکسید کننده، غیر سمی بودن و سهولت سنتز با مواد اولیه ارزان است[۹۰-۹۱]. این ماده دارای جایگاه‌های فعالی مانند گروه‌های هیدروکسیل کلسیم یا فسفات به عنوان محل‌های اسید لوئیس یا برونستد است که باعث می‌شود به عنوان کاتالیزگر به کار روند[۱۱-۱۴].

۱- مقدمه

کمپلکس شیف باز فلزی، ترکیبی است که به علت دارا بودن ویژگی‌های جالب فیزیکی و شیمیایی و کاربردهای وسیع در بعضی عرصه‌های علمی، نظر بسیاری از محققان را جلب کرده است. وجود فلزات واسطه با لیگاند شیف باز چند دندانه جهت ساخت کمپلکس فلزی بستر مساعد و مناسبی را برای ترکیب خصلت‌های شیمیایی، مغناطیسی، نوری، الکترونیکی و اکسایش-کاهش کمپلکس‌های فلزی با مولکول‌های آلی ارائه می‌دهد. کمپلکس‌های شیف باز مولکول‌های پایدارتر از شیف بازهای کمپلکس نشده هستند، این کمپلکس‌ها مصارف و کاربردهای بسیار زیاد، مهم و کلیدی در زمینه هایی مانند شیمی دارویی، حسگرها زیستی، سلول‌های خورشیدی، بیوشیمی، علم مواد و سنتز کاتالیزگرها دارند[۴-۱]. این کاربردها اهمیت این نوع سیستم لیگاند و کمپلکس فلزی آن را نمایان می‌کند. در سال های اخیر، استفاده از نانو کاتالیزگرهای مغناطیسی کمپلکس

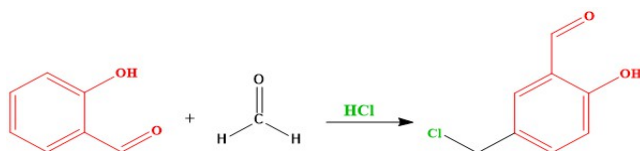
مرک تهیه شده‌اند. پیشرفت واکنش به وسیله کروماتوگرافی لایه نازک کنترل شد.

دستگاه‌های مورد استفاده در این تحقیق عبارتند از دستگاه پراش اشعه ایکس (XRD) مدل X'pert Pro MPD، دستگاه طیف سنج با تابش $\text{Cu}-\text{K}\alpha$ و طول موج $1/5406 \text{ \AA}^\circ$ ، دستگاه آنالیز کمی عناصر با استفاده از پاشندگی انرژی اشعه ایکس، PerkinELM (FT-IR) فوریه، دستگاه TGA L001، دستگاه VSM مدل MDKB، دستگاه آنالیز کمی عناصر با استفاده از پاشندگی انرژی اشعه ایکس، TESCAN MIRA 3 LMU (FESEM-EDS)، دستگاه Bruker (Avance-400) ^1H NMR و ^{13}C NMR.

۲-۲-۱- سنتز کاتالیزگر کمپلکس سالن مس ثبت شده بر روی نانوذرات مغناطیسی کبالت فریت-هیدروکسی آپاتیت ($\text{CoFe}_2\text{O}_4@\text{HAP}@\text{Cu Salen}$)

۲-۲-۲- سنتز ۵-کلرو متیل-۲-هیدروکسی بنزآلدهید

۴/۰۷۳ میلی‌مول سالیسیل آلدهید، ۱۸ میلی‌لیتر فرمالدهید(۲۴۲ میلی‌مول) و ۲۵۵ میلی‌لیتر HCl در بالن ریخته و در دمای صفر درجه سانتیگراد به مدت ۲۴ ساعت با همزن مغناطیسی همزدگرد شد تا واکنش مربوطه انجام شود(طرح واره ۲). رسوب حاصل استخراج شده و در دی اتیل اتر حل شد. پس از آن سدیم سولفات بدون آب اضافه گردید و محلول با کاغذ صافی، صاف شد. در مرحله نهایی رسوب بدست آمده در پترلیوم اتر داغ حل شد تا تبلور مجدد صورت گیرد و رسوب خالص بدست آید.



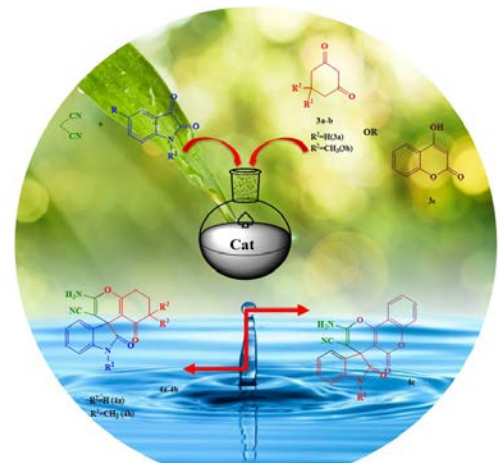
طرح واره ۲. سنتز ۵-کلرومتیل-۲-هیدروکسی بنزآلدهید.

۲-۲-۳- سنتز نانوذرات مغناطیسی کبالت فریت-هیدروکسی آپاتیت

در یک بالن ۲/۳ گرم کبالت(II) نیترات ۶ آبه (۷/۸۹ میلی‌مول)، ۵ گرم آهن(III) نیترات ۹ آبه (۱۲/۳۷ میلی‌مول)، به ۱۰۰ میلی‌لیتر آب بدون یون اضافه و به مدت ۱۵ دقیقه همزدگرد شد. ۵۵

ترکیبات هتروسیکل دسته ای از ترکیبات با خواص ویژه و با منشاء طبیعی هستند. در میان سیستم‌های حلقه هتروسیکل مختلف، ترکیبات هتروسیکل نیتروژن فراوان‌تر از دیگر ترکیبات هتروسیکل در طبیعت یافت می‌شوند. هتروسیکل‌های نیتروژن در ویتامین‌ها، آلکالوئیدها، هورمون‌ها، طیف وسیعی از آنتی‌بیوتیک‌ها مانند پنی‌سیلین، سفالوسپورین و ترکیبات طبیعی متعددی وجود دارند[۱۵ و ۱۶]. همچنین ترکیبات هتروسیکل کاربردهای قابل توجهی در علم مواد مانند حسگرهای، مواد فلورسنت، مواد رنگزا و دستگاه‌های مولکولی دارند. مایعات یونی که دارای حلقه هتروسیکل نیتروژن هستند، می‌توانند هم به عنوان کاتالیزگرهای سازگار با محیط زیست و هم به عنوان حلال عمل کنند[۱۷ و ۱۸].

در ادامه فعالیت‌های تیم تحقیقاتی دکتر ناصری و همکارانش در زمینه سنتز نانوکاتالیزگرهای[۱۹ و ۲۸]، در این پژوهش کاتالیزگر کمپلکس سالن مس ثبت شده بر روی نانوذرات مغناطیسی هیدروکسی آپاتیت سنتز و شناسایی گردید. سپس برای بهبود سرعت و بازده واکنش سنتز مشتقات اسپیروواکسیندول‌ها استفاده گردید(طرح واره ۱).



طرح واره ۱. سنتز مشتقات اسپیروواکسیندول‌ها در حضور کمپلکس سالن ثبت شده بر روی نانوذرات مغناطیسی کبالت فریت-هیدروکسی آپاتیت.

۲- بخش تجربی

۲-۱- مواد شیمیایی و دستگاه‌ها مورد استفاده

مواد شیمیایی و حللهای مورد استفاده از جمله کبالت(II) نیترات ۶ آبه، آهن(III) نیترات ۹ آبه، فسفریک، اسید و آمونیاک از شرکت

استات مس ۴ آبه (۱ میلی مول)، اضافه گردید و این مخلوط به مدت ۱۲ ساعت تحت گاز آرگون بازروانی شد. رسوب بدست آمده توسط آهنربای مغناطیسی جدا گردید و چهار مرتبه با اتانول شستشو داده شد. کاتالیزگر ناهمگن به مدت ۲۴ ساعت در آون با دمای ۸۰ درجه سانتیگراد خشک گردید تا کمپلکس سالن مس-تشییت شده بر روی نانوذرات مغناطیسی کبالت فریت-هیدروکسی آپاتیت تهیه شود.

۳- بحث و نتایج

در این پژوهش کمپلکس $\text{CoFe}_2\text{O}_4@\text{HAP}@\text{Salen Cu}$ طی چند مرحله به عنوان یک سیستم نانومغناطیس سنتز گردید. ابتدا از واکنش کبالت(II) نیترات ۶ آبه، آهن(III) نیترات ۹ آبه با هیدروکسید سدیم نانوذرات کبالت فریت سنتز گردید. در مرحله بعد به نانوذرات کبالت فریت، کلسیم نیترات ۴ آبه، آمونیاک و اسید فسفریک اضافه شد تا نانوذرات مغناطیسی کبالت فریت-هیدروکسی آپاتیت بدست آید. سپس ۵-کلرومتیل-۲-هیدروکسی بنزاکلید و ۱-دی‌آمینو سیکلو هگزان روی سطح نانوذرات مغناطیسی کبالت فریت-هیدروکسی آپاتیت قرار داده شد. در مرحله بعد ۲-هیدروکسی بنزاکلید به مخلوط واکنش اضافه شد تا شیف باز مورد نظر تهیه گردد. سرانجام با افزودن استات مس ۴ آبه، کمپلکس سالن مس تشییت شده بر روی نانوذرات مغناطیسی کبالت فریت-هیدروکسی آپاتیت سنتز گردید (طرح واره ۳ و ۴).

۳-۱- شناسایی کمپلکس سالن تشییت شده بر روی نانوذرات مغناطیسی کبالت فریت-هیدروکسی آپاتیت
کاتالیزگر سنتز شده با روش‌های مختلفی مانند FT-IR، XRD و ICP، FESEM-EDS

طیف‌های FT-IR نانوذرات $\text{CoFe}_2\text{O}_4@\text{HAP}$ ، CoFe_2O_4 ، $\text{CoFe}_2\text{O}_4@\text{Salen Cu}$ در شکل ۱ آورده شده است. نوار موجود در حدود $598/\text{cm}^{-1}$ که در هر سه طیف دیده می‌شود، مربوط به ارتعاشات خمشی یون‌های PO_4^{3-} می‌باشد. همچنین نوارهای موجود در محدوده $1038/\text{cm}^{-1}$ که در طیف $\text{CoFe}_2\text{O}_4@\text{HAP}$ و کمپلکس

میلی لیتر محلول سود (۳ مولار) قطره قطره به محلول قبلی اضافه گردید و به مدت ۳۰ دقیقه در اولتراسونیک قرار داده شد. مخلوط واکنش به مدت ۲ ساعت تحت گاز آرگون گرفت. سپس ۱۰ میلی لیتر محلول کلسیم نیترات ۴ آبه (۸/۳۵ میلی مول) به ظرف واکنش اضافه شد. محلول NH_3 قطره قطره به مخلوط واکنش اضافه شد تا pH محلول به ۱۱ برسد. بعد از آن ۱۰ میلی لیتر H_3PO_4 (۵ مولار) قطره قطره اضافه گردید و پس از ۵۰ دقیقه در دمای ۸۰ درجه سانتیگراد توسط همزن مغناطیسی همزده شد تا رسوب $\text{CoFe}_2\text{O}_4@\text{HAP MNPs}$ تولید شود. رسوب بدست pH آمده توسط آهنربا جدا شد و با آب بدون یون تا رسیدن به خنثی شستشو داده شد و در نهایت به مدت ۶ ساعت در آون خلاء در دمای ۹۰ درجه سانتیگراد خشک گردید تا نانوذرات کبالت فریت-هیدروکسی آپاتیت به دست آید.

۳-۲-۳- سنتز سالن تشییت شده بر روی نانوذرات مغناطیسی کبالت فریت-هیدروکسی آپاتیت

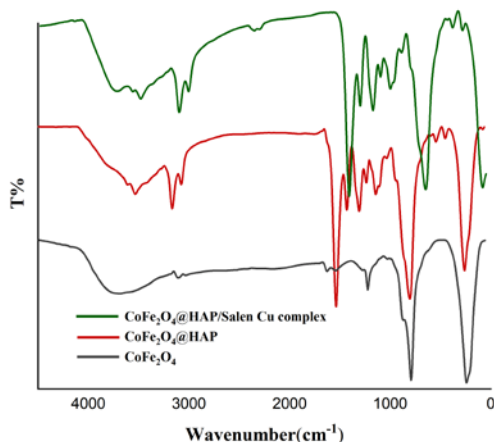
۰/۲۵ گرم HAP پوشش داده شده روی $\text{CoFe}_2\text{O}_4\text{MNP}$ در ۵ میلی لیتر اتانول به مدت ۱ ساعت پراکنده گردید. ۰/۴۲۵ گرم - ۵-کلرومتیل-۲-هیدروکسی بنزاکلید (۴/۳۹ میلی مول) اضافه گشت و مخلوط واکنش به مدت ۲۴ ساعت بازروانی شد. رسوب حاصل در دمای محیط بدون هم زدن گرفت تا سرد شود، سپس ۰/۰۸۷ میلی لیتر ۱ و ۲ دی‌آمینو سیکلو هگزان (۶۶/۰ میلی مول) در اتانول حل نموده و قطره قطره به مخلوط واکنش اضافه گردید. مخلوط واکنش به مدت ۱۲ ساعت در دمای محیط همزده شد. سپس ۰/۰۸۷ میلی لیتر ۲-هیدروکسی بنزاکلید (۴/۰۰ میلی مول) اضافه گردید و به مدت ۱۲ ساعت بازروانی شد تا سالن تشییت شده بر روی نانوذرات مغناطیسی کبالت فریت-هیدروکسی آپاتیت به دست آید.

۳-۲-۴- سنتز کمپلکس سالن مس تشییت شده بر روی نانوذرات مغناطیسی کبالت فریت-هیدروکسی آپاتیت

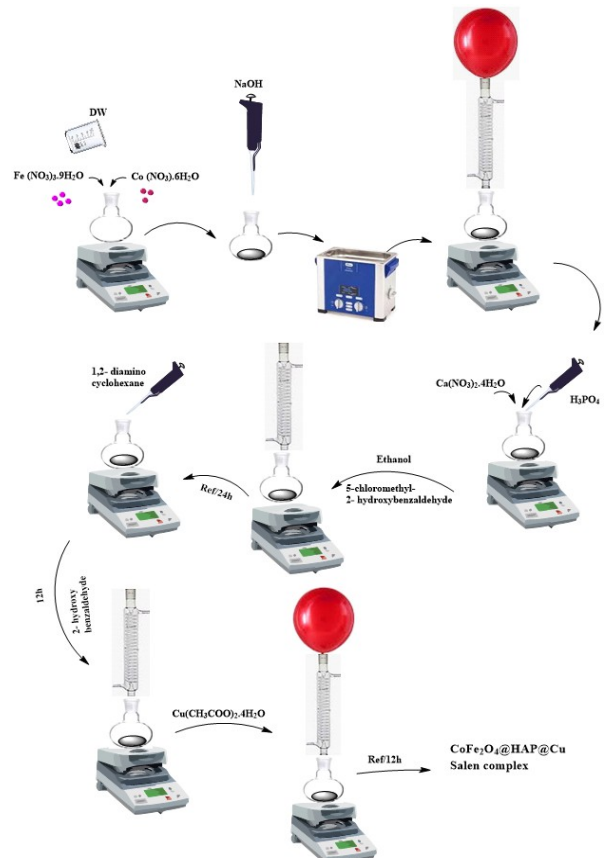
جهت سنتز کمپلکس سالن مس تشییت شده بر روی نانوذرات مغناطیسی کبالت فریت-هیدروکسی آپاتیت، به مخلوط واکنش

CoFe₂O₄@HAP@Cu Salen ارتعاشات کششی متقارن و نامتقارن یون‌های PO₄⁻³ می‌باشد. وجود پیک cm⁻¹ ۱۳۸۳/۵۵ در این دو طیف مشخصه ارتعاشات کششی متقارن CO₃⁻² است. از طرف دیگر، نوارهای دیده شده در محدوده ۳۳۵۴/۶۴ cm⁻¹ به ارتعاش کششی گروه‌های OH اختصاص داده شد. نوارهای FT-IR کمپلکس سالن در ۱۴۵۰-۱۵۵۰ cm⁻¹ در CoFe₂O₄@HAP@Cu ارتعاشات کششی پیوندهای C=C حلقه فنیل است. همچنین ارتعاش گروه آزومتین(C=N) در ۱۶۲۸/۶۲ cm⁻¹ در دو طیف CoFe₂O₄@HAP@Salen Cu و CoFe₂O₄@HAP مشاهده شد. در طیف CoFe₂O₄@HAP@Salen Cu به دلیل پیوند کوئربیناسیونی فلز با عناصر، پیک‌ها به سمت راست جابجا شده‌اند.

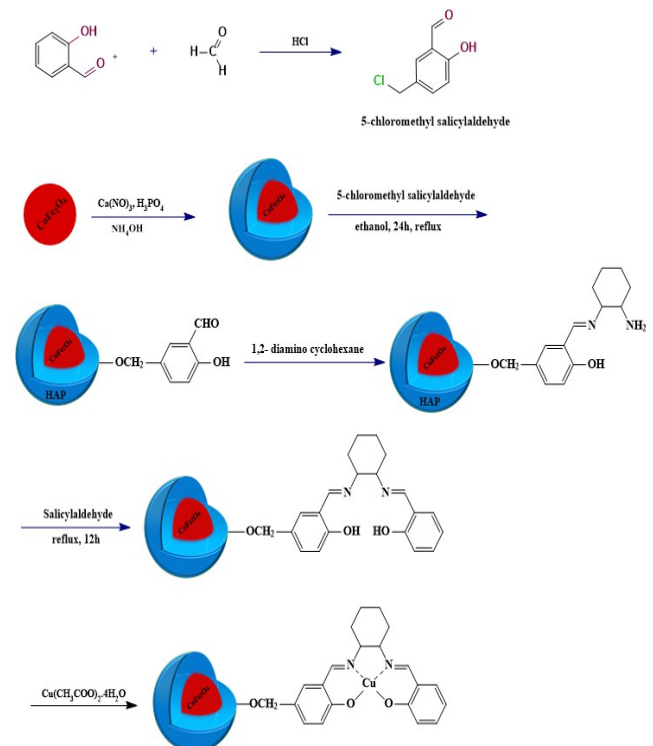
الگوی پرتو ایکس پودری ثبت شده برای نمونه نانوذرات مغناطیسی کمپلکس سالن CoFe₂O₄@HAP@Cu در شکل ۲ نشان داده شده است. الگوهای XRD نانوذرات کمپلکس سالن CoFe₂O₄@HAP@Cu سنتز شده، چندین پیک نسبتاً قوی را در ناحیه ۲۰ تا ۸۰ درجه نشان می‌دهند که کاملاً مشابه الگوهای نانوذرات کمپلکس سالن CoFe₂O₄@HAP@Cu گزارش شده توسط گروه‌های دیگر است. پیک‌های اصلی واضح و مشخص در دو تنای ° ۵۳/۹۷۷، ۴۹/۴۵۷، ۳۹/۵۱۷، ۳۰/۳۵۷ مربوط به (JCPDS No.073-0293) HAP می‌باشد [۲۹]. علاوه بر این، پیک‌های موجود در دو تنای ° ۳۵/۶۶۱، ۳۵/۶۶۱، ۳۰/۳۵۷، ۴۳/۴۵۷ و ۵۷/۵۱۷، ۶۳/۱۵۷ مربوط به حضور CoFe₂O₄



شکل ۱. طیف‌های FT-IR مربوط به CoFe₂O₄, CoFe₂O₄@HAP و کمپلکس CoFe₂O₄@HAP@Salen Cu



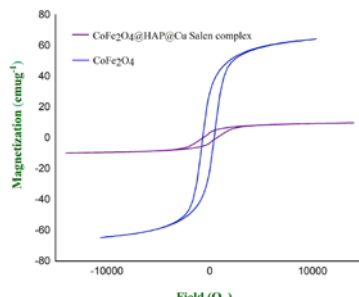
طرح واره ۳. مراحل آزمایشگاهی سنتز کمپلکس سالن ثبیت شده بر روی نانوذرات مغناطیسی کبالت فریت-هیدروکسی آپاتیت.



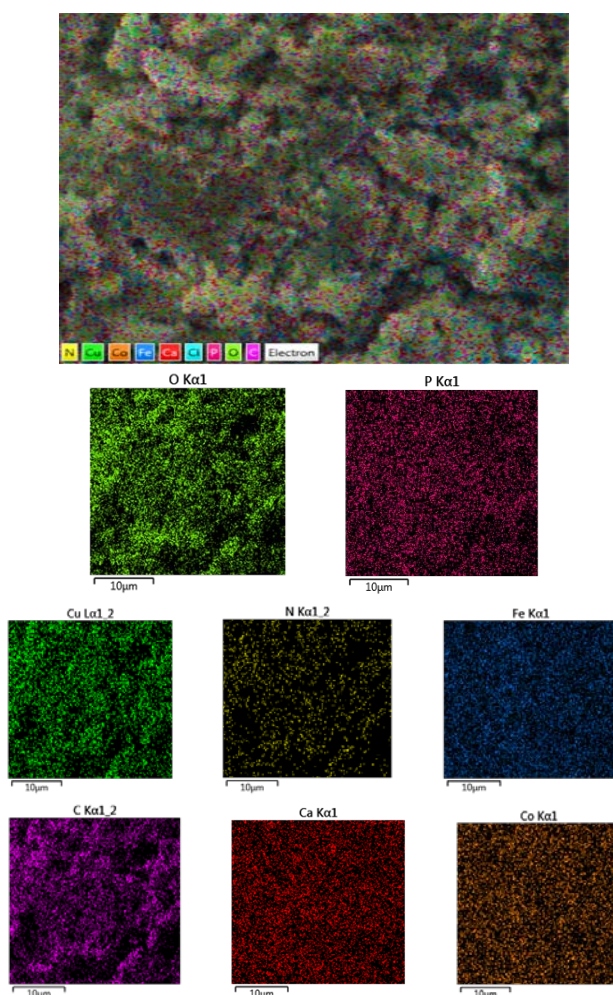
طرح واره ۴. واکنش سنتز کمپلکس سالن ثبیت شده بر روی نانوذرات مغناطیسی کبالت فریت-هیدروکسی آپاتیت.

تصویر FESEM از کاتالیزگر به وضوح شکل کروی آن را اثبات می کند(شکل ۵). علاوه بر این، اندازه ذرات کاتالیزگر در مقیاس نانو به طور میانگین طبق نرمافزار اندازه گیری، $38/66$ نانومتر تشخیص داده شد.

برای یافتن مقدار حضور مس در نانوذرات از روش پلاسمای جفت شده القایی(ICP) استفاده شد. آنالیز ICP کاتالیزگر نشان داد که



شکل ۳. طیف های VSM نانوذرات CoFe_2O_4 و کمپلکس سالن $\text{CoFe}_2\text{O}_4@\text{HAP}@\text{Cu}$

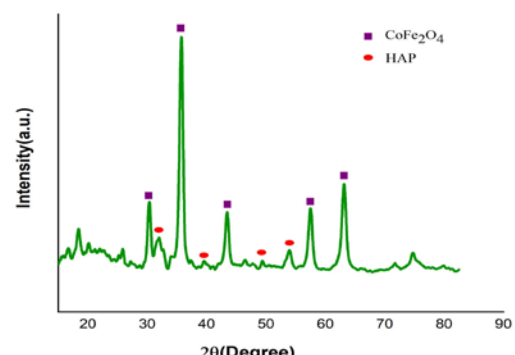


شکل ۴. نقشه برداری عنصری EDS از کمپلکس سالن $\text{CoFe}_2\text{O}_4@\text{HAP}@\text{Cu}$

(JCPDS No.01-1121) هستند[۳۰]. این نتایج تشکیل کامپوزیت CoFe_2O_4 -HAP را تأیید می کند. بازتابهای اضافی در الگوی پراش اشعه ایکس مشاهده نمی شود. اندازه متوسط $D = 0.9\lambda/\beta \cos\theta$ ضریب ساختار بلوری با استفاده از معادله شر $k = 0.9$ محاسبه شده است که در آن D اندازه بلورینگی، β پهنه ای کامل در نصف λ XRD (FWHM) پیک های تمام صفحات در الگوی λ طول موج هدف یعنی $1/540.6$ آنگسترم و θ زاویه براگ است. طبق نتیجه محاسبه شده توسط معادله شر، مشخص شد که قطر نانوذرات کمپلکس سالن $\text{CoFe}_2\text{O}_4@\text{HAP}@\text{Cu}$ ۲۸/۸۵۱ نانومتر می باشد.

در مرحله بعد، خواص مغناطیسی نمونه حاوی جزء مگنتیت توسعه یک مغناطیس سنج نمونه ارتعاشی(VSM) در دمای ۳۰۰ کلوین بررسی شد(شکل ۳). مقادیر مغناطیس اشباع برای نانوذرات مغناطیسی کبالت فریت و کمپلکس سالن $\text{CoFe}_2\text{O}_4@\text{HAP}@\text{Cu}$ به ترتیب 68 emu g^{-1} و 11 emu g^{-1} بدست آمده است. مقدار بدست آمده برای کمپلکس سالن $\text{CoFe}_2\text{O}_4@\text{HAP}@\text{Cu}$ پایین تر از مقدار بدست آمده برای نانوذرات کبالت - فریت است که این کاهش به دلیل وجود لایه هیدروکسی آپاتیت و کمپلکس سالن در سطح نانوذرات می باشد. آنالیز نقشه برداری عنصری با استفاده از طیف سنجی پراکندگی انرژی (EDS) از کمپلکس $\text{CoFe}_2\text{O}_4@\text{HAP}@\text{Cu}$ Salen (شکل ۴) نشان می دهد که نانوذرات مس تقریباً به طور یکنواخت و بدون تجمع توزیع شده اند.

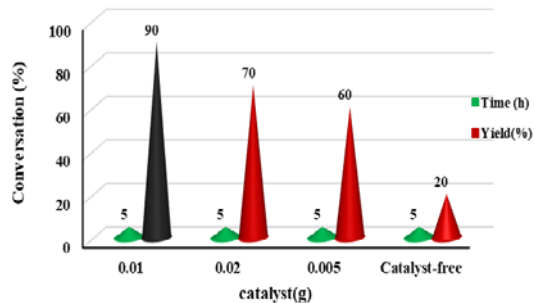
شکل ذرات، ریخت شناسی سطح و توزیع اندازه کمپلکس سنتز شده $\text{CoFe}_2\text{O}_4@\text{HAP}@\text{Cu}$ Salen توسط میکروسکوپ الکترونی روبشی گسیل میدانی(FESEM) تخمین زده شد.



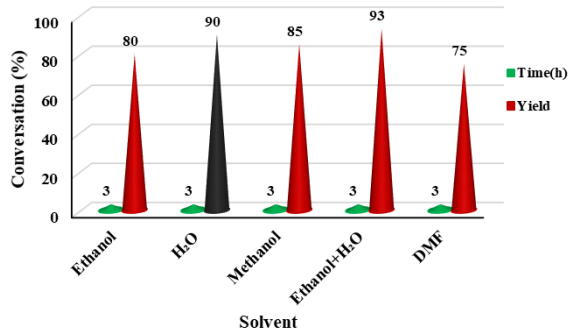
شکل ۲. آنالیز XRD کمپلکس سالن $\text{CoFe}_2\text{O}_4@\text{HAP}@\text{Cu}$

برای تعیین مقدار بهینه حلال، واکنش در مقادیر مختلف آب (۰/۰۱ و ۳ میلی لیتر و بدون حلال) به عنوان حلال و در حضور ۹۰ گرم کاتالیزگر $\text{CoFe}_2\text{O}_4@\text{HAP}@\text{Cu}$ Salen در دمای ۹۰ درجه سانتیگراد انجام شد. نتایج نشان داد مقدار ۲ میلی لیتر حلال آب بهترین بازده را برای سنتز اسپیروواکسیندول ایجاد می‌کند (شکل ۸).

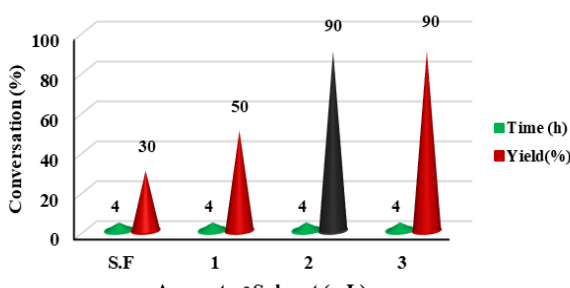
در مرحله بعد برای بهینه سازی دما، دماهای مختلف (۰/۰۱، ۵۰، ۷۰ و ۸۰ درجه سانتیگراد) در واکنش دیمدون (۱ میلی مول)، مالونو نیتریل (۱ میلی مول) و ایزاتین (۱ میلی مول) در حلال آب (۰/۰۱ میلی لیتر) و در حضور ۰/۰۱ گرم مقدار کاتالیزگر $\text{CoFe}_2\text{O}_4@\text{HAP}@\text{Cu}$ Salen مورد بررسی قرار گرفت. نتایج



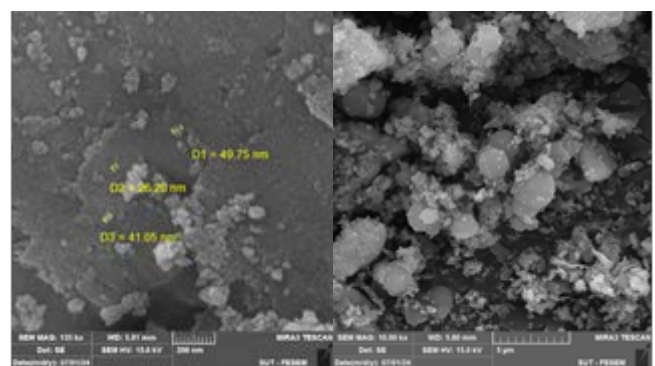
شکل ۶ تأثیر مقدار نانو کاتالیزگر بر سنتز اسپیروواکسیندول ها توسط کمپلکس سالن . $\text{CoFe}_2\text{O}_4@\text{HAP}@\text{Cu}$



شکل ۷. تأثیر حلال بر سنتز اسپیروواکسیندول ها توسط کمپلکس سالن . $\text{CoFe}_2\text{O}_4@\text{HAP}@\text{Cu}$



شکل ۸ تأثیر مقدار حلال بر سنتز اسپیروواکسیندول ها توسط کمپلکس سالن . $\text{CoFe}_2\text{O}_4@\text{HAP}@\text{Cu}$



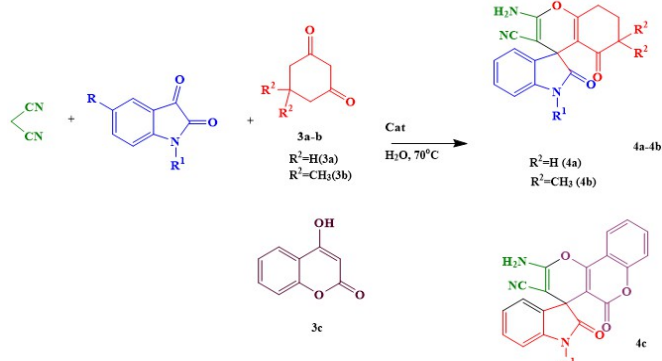
شکل ۵. تصویر FESEM نانوذرات کمپلکس سالن $\text{CoFe}_2\text{O}_4@\text{HAP}@\text{Cu}$ ۰/۱۰۵ میلی مول مس روی ۱ گرم کاتالیزگر بارگذاری شده است.

۲-۳- سنتز اسپیروواکسیندول ها در حضور کاتالیزگر کمپلکس سالن $\text{CoFe}_2\text{O}_4@\text{HAP}@\text{Cu}$

جهت بررسی خواص کاتالیزگری نانوذرات سنتز شده، تهیه اسپیروواکسیندول ها مورد بررسی قرار گرفت. ابتدا جهت بهینه سازی، واکنش ایزاتین (۱ میلی مول)، مالونو نیتریل (۱ میلی مول) و دیمدون (۱ میلی مول) به عنوان واکنش مینا در نظر گرفته شد و تأثیر مقدار کاتالیزگر مورد استفاده، دما، حلال و مقدار حلال برای این واکنش بررسی گردید.

به منظور بهینه کردن مقدار کاتالیزگر در سنتز اسپیروواکسیندول، واکنش مینا در دمای ۹۰ درجه سانتیگراد و در حضور مقادیر مختلف کاتالیزگر بررسی شد. نتایج نشان می‌دهد که ۰/۰۱ گرم کاتالیزگر بیشترین بازده را ایجاد می‌کند. کاربرد مقادیر کمتر کاتالیزگر بازده را به شدت کاهش می‌دهد. همچنین استفاده از مقادیر بالاتر کاتالیزگر تغییر چشمگیری را در بازده واکنش ایجاد نمی‌کند. به منظور بررسی نقش نانوذرات مغناطیسی کمپلکس $\text{CoFe}_2\text{O}_4@\text{HAP}@\text{Cu}$ Salen، واکنش مینا در غیاب کاتالیزگر نیز انجام شد و تنها ۲۰٪ بازده به دست آمد (شکل ۶).

برای تعیین مناسب‌ترین حلال، واکنش مینا در حضور ۰/۰۱ گرم کاتالیزگر در حلال‌های مختلف انجام شد. نتایج واکنش نشان داد بیشترین بازده در حلال آب بدست می‌آید. علاوه بر بازده بالا، حلال آب به دلیل قیمت پایین، غیر سمی بودن (اصول شیمی سبز) و دسترس پذیری بالا به عنوان حلال مناسب برای این واکنش انتخاب می‌گردد (شکل ۷).



طرح واره ۵. سنتز مشتقات اسپیرواکسیندول‌ها در حضور نانوکمپلکس.

جدول ۲. سنتز مشتقات اسپیرواکسیندول‌ها در حضور کمپلکس سالن $\text{CoFe}_2\text{O}_4@\text{HAP}@\text{Cu}$.

ردیف	ایزاتین	زمان(دقیقه)	محصول	دی کتون	بازده(درصد)	
	R ¹ R			حلقوی		
۱	H H	a ^۳	a ^۴	۱۰	۷۵	
۲	NO ₂ H	a ^۳	a ^۴	۱۰	۹۸	
۳	Br H	a ^۳	a ^۴	۱۰	۹۵	
۴	H H	b ^۳	b ^۴	۱۵	۸۵	
۵	NO ₂ H	b ^۳	b ^۴	۱۵	۹۰	
۶	Br H	b ^۳	b ^۴	۱۵	۹۵	
۷	H H	c ^۳	c ^۴	۳۰	۹۸	
۸	NO ₂ H	c ^۳	c ^۴	۳۰	۹۵	
۹	Br H	c ^۳	c ^۴	۳۰	۹۵	

شرط و اکشن: کاتالیزگر (۰/۰۱ گرم)، حلال آب (۲ میلی لیتر)، دمای ۹۰ درجه سانتیگراد.



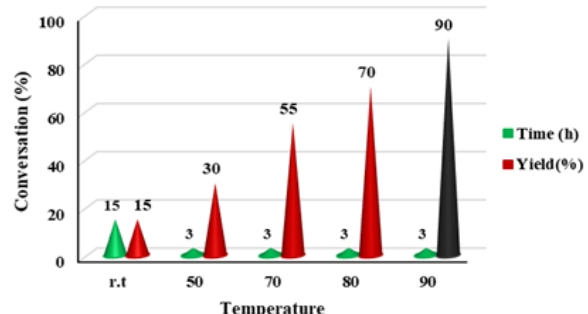
شکل ۱۰. تغییر رنگ واکنش سنتز اسپیرواکسیندول در حضور کمپلکس سالن $\text{CoFe}_2\text{O}_4@\text{HAP}@\text{Cu}$.

نشان داد واکنش در دمای ۹۰ درجه سانتیگراد بیشترین بازده را دارد(شکل ۹).

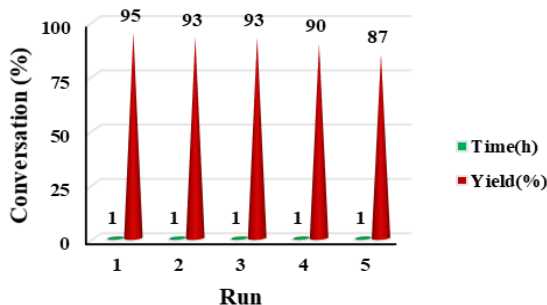
در مرحله بعد، سنتز مشتقات اسپیرواکسیندول در حضور کمپلکس سالن ثبیت شده بر روی نانوذرات مغناطیسی کبالت فریت-هیدروکسی آپاتیت، در شرایط بهینه ۰/۰۱ گرم کاتالیزگر، ۹۰ درجه سانتی گراد و حلال آب مورد بررسی قرار گرفت.

برای تهیه مشتقات اسپیرواکسیندول مخلوطی از مالونونیتریل (۱ میلی مول)، مشتق ایزاتین (۱ میلی مول) و مشتق دی کربونیل (۱ میلی مول) در حضور کمپلکس سالن ثبیت شده بر روی نانوذرات مغناطیسی کبالت فریت-هیدروکسی آپاتیت (۰/۰۱ گرم)، در حلال آب و در دمای ۹۰ درجه سانتیگراد استفاده شد(شماتیک ۵) (جدول ۲). در ابتدای واکنش یک مخلوط نارنجی رنگ به وجود آید. پس از چند دقیقه تغییر رنگ به قرمز مشاهده می شود. با گذشت زمان و کامل شدن واکنش، مخلوط بی رنگ ایجاد می شود(شکل ۱۰). بعد از کامل شدن واکنش، محصول با خلوص بالا به دست می آید. برای خالص سازی بیشتر از تبلور مجدد در اتانول استفاده می شود. در نهایت، محصولات جداسازی C NMR, FT-IR, H NMR و توسط روش هایی مانند FT-IR و توزیع روش هایی مانند H NMR شناسایی می گردد. همان طور که مشاهده می شود وجود گروه های الکترون کشende بر روی ایزاتین باعث کاهش زمان واکنش و افزایش بازده واکنش نسبت به گروه های الکترون دهنده می گردد.

مکانیسم سنتز اسپیرواکسیندول در حضور کمپلکس سالن ثبیت شده بر روی نانوذرات مغناطیسی کبالت فریت-هیدروکسی آپاتیت در طرح واره ۶ پیشنهاد گردیده است. در ابتدا برهم کنش بین مس (II) در کمپلکس سالن ثبیت شده بر روی نانوذرات



شکل ۹. تأثیر دما بر سنتز اسپیرواکسیندول‌ها توسط نانوکمپلکس.



شکل ۱۱. بازیافت کمپلکس کمپلکس سالن $\text{CoFe}_2\text{O}_4@\text{HAP}@\text{Cu}$ در واکنش سنتز اسپیرواکسیندول‌ها.

گرفته شد. زمان کوتاه، شرایط ملایم واکنش، جداسازی آسان و بازده عالی از مزایای این نانوکاتالیزگر هستند. این کاتالیزگر به راحتی توسط میدان مغناطیسی خارجی بازیابی می‌شود و بدون کاهش قابل توجه در فعالیت، دوباره مورد استفاده قرار می‌گیرد.

تشکر و قدردانی

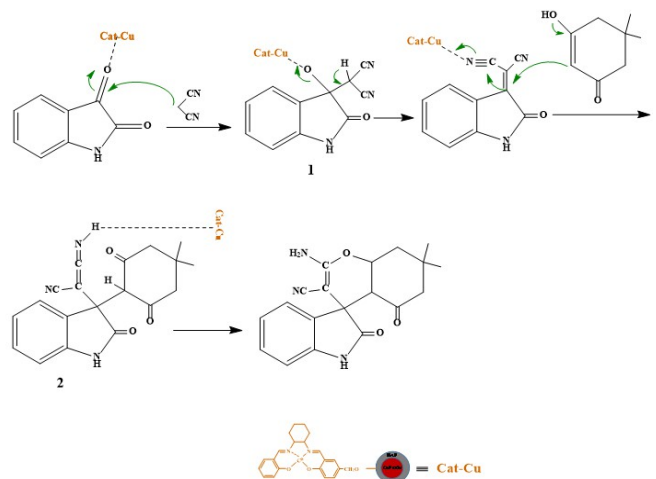
از دانشگاه بیرجند به دلیل حمایت‌های مالی و فراهم کردن زمینه پژوهشی تشکر و قدردانی می‌شود.

مراجع

1. A. Prakash and D. Adhikari, Int. J. Chem. Tech. Res 3, 1891 (2011).
2. N. Turan, H. Seymen, B. Gündüz, K. Buldurun, and N. Çolak, Opt. Mater. (Amst). 148, 114802 (2024).
3. B. M. L. Dioos and P. A. Jacobs, J. Catal. 235, 428 (2005).
4. A. Soroceanu and A. Bargan, Crystals 12, 1436 (2022).
5. I. R. Pathan and M. K. Patel, Inorg. Chem. Commun. 158, 111464 (2023).
6. F. Nworie, F. Nwabue, N. Elom, and S. Eluu, J. Basic Appl. Res. Biomed. 2, 295 (2025).
7. M. A. Nasseri, M. Shahabi, and A. Allahresani,

مغناطیسی با گروه کربونیل ایزاتین، باعث مثبت‌تر شدن گروه کربونیل ایزاتین و فعال‌سازی سایت الکتروفیلی می‌شود. گروه فعال شده توسط مالونونیتریل مورد حمله نوکلئوفیلی قرار گرفته و حدوات (۱) به دست می‌آید. در مرحله بعد با نوکلئوفیل دوم (دیمدون) وارد واکنش می‌شود و حدوات ایمینی (۲) ایجاد می‌گردد. گروه ایمینی حدوات ایجاد شده توسط کاتالیزگر فعال می‌شود و مورد حمله اکسیژن قرار گرفته و با انجام واکنش درون مولکولی حلقه اسپیرواکسیندول ایجاد می‌شود.

در مرحله بعد بازیابی نانوکمپلکس معرفی شده مطالعه شد. به این ترتیب که پس از کامل شدن واکنش، نانوذرات کمپلکس سالن ثبت شده بر روی نانوذرات مغناطیسی کبالت فریت-هیدروکسی آپاتیت به وسیله آهن‌ربا از مخلوط واکنش جدا شده و توسط اتیل استات شسته و تحت خلا خشک گردید. کاتالیزگر بازیافتی را می‌توان چندین مرتبه در سنتز اسپیرواکسیندول استفاده نمود. نتایج نشان می‌دهد که بازده محصول پس از پنج بار استفاده متوالی، کاهش چندانی نیافته است. کاتالیزگر سنتز شده قابل بازیافت است و امکان استفاده مجدد از آن بدون کاهش محسوسی در فعالیت کاتالیزگر وجود دارد(شکل ۱۱).



طرح واره ۶ مکانیسم پیشنهادی برای سنتز اسپیرواکسیندول در حضور کمپلکس $\text{CoFe}_2\text{O}_4@\text{HAP}@\text{Cu}$ سالن

۴- نتیجه‌گیری

کمپلکس مس سالن ثبت شده بر روی نانوذرات فریت کبالت-هیدروکسی آپاتیت به عنوان یک نانوکاتالیزگر کارآمد جدید برای سنتز سازگار با محیط زیست اسپیرواکسیندول‌ها در آب به کار

22. M. A. Nasseri, F. Kamali, and B. Zakerinasab, RSC Adv. 5, 26517 (2015).
23. M. A. Nasseri and B. Zakerinasab, Res. Chem. Intermed. 41, 5261 (2015).
24. M. A. Nasseri, B. Zakerinasab, and S. Kamayestani, J. Appl. Chem. 2015, 743094 (2015).
25. S. Sheikh, M. A. Nasseri, A. Allahresani, and R. S. Varma, Sci. Rep. 12, 17986 (2022).
26. S. Sheikh, M. A. Nasseri, M. Chahkandi, A. Allahresani, and O. Reiser, J. Hazard. Mater. 400, 122985 (2020).
27. K. Hemmat, M. A. Nasseri, A. Allahresani, and S. Ghiami, J. Organomet. Chem. 903, 120996 (2019).
28. M. A. Nasseri, B. Zakerinasab, and S. Kamayestani, J. Iran. Chem. Soc. 12, 1457 (2015).
29. C. García, C. García, and C. Paucar, Inorg. Chem. Commun. 20, 90 (2012).
30. F. Foroughi, S. A. Hassanzadeh-Tabrizi, J. Amighian, and A. Saffar-Teluri, Ceram. Int. 41, 6844 (2015).
- RSC Adv. 13, 22158 (2023).
8. M. Kazemnejadi, M. A. Nasseri, S. Sheikh, Z. Rezazadeh, and S. A. A. Gol, RSC Adv. 11, 15989 (2021).
9. K. Sangeetha, M. Ashok, and E. K. Girija, Ceram. Int. 45, 12860 (2019).
10. M. Rastgordani and J. Zolgharnein, Mater. Sci. Eng. B 290, 116290 (2023).
11. X. Xiao, L. Yang, D. Zhou, J. Zhou, Y. Tian, C. Song, and C. Liu, Colloids Surfaces A Physicochem. Eng. Asp. 555, 548 (2018).
12. A. Saffar-Teluri, RSC Adv. 5, 70577 (2015).
13. N. Razavi and B. Akhlaghinia, New J. Chem. 40, 447 (2016).
14. F. Mohandes and M. Salavati-Niasari, Mater. Sci. Eng. C 40, 288 (2014).
15. E. Kabir and M. Uzzaman, Results Chem. 4, 100606 (2022).
16. A. M. Escobar, G. Blustein, R. Luque, and G. P. Romanelli, Catalysts 11, 291 (2021).
17. F. M. Alshareef, J. S. Algethami, M. A. M. Alhamami, E. H. Alosaimi, H. M. Al-Saidi, and S. Khan, J. Environ. Chem. Eng. 114110 (2024).
18. A. Kumar and A. Mishra, J. Exp. Zool. India 26, (2023).
19. M. A. Nasseri, B. Zakerinasab, and M. M. Samieadel, RSC Adv. 4, 41753 (2014).
20. H. Hassani, M. A. Nasseri, B. Zakerinasab, and F. Rafiee, Appl. Organomet. Chem. 30, 408 (2016).
21. H. Hassani, B. Zakerinasab, M. A. Nasseri, and M. Shavakandi, RSC Adv. 6, 17560 (2016).



Synthesis of a salen complex supported on cobalt ferrite-hydroxyapatite magnetic nanoparticles and its application in the preparation of spirooxindole compounds

Mohammad Ali Nasseri*, Batol Zakerinasab, Azam Habibollahi

Department of Chemistry, College of Sciences, University of Birjand, Birjand, Iran.

Abstract: In this study, considering the importance of nanocatalysts in organic reactions, a copper salen complex supported on cobalt ferrite–hydroxyapatite magnetic nanoparticles($\text{CoFe}_2\text{O}_4@\text{HAP}@\text{Cu}$ Salen Complex) was synthesized and characterized using various techniques including FT-IR, SEM, ICP, XRD, etc. The activity of the catalyst in a multicomponent reaction was investigated for the synthesis of spirooxindole derivatives, and high-yield products were prepared. The absence of toxic solvents, easy recycling and reusability of the catalyst, and no formation of by-products are the advantages of this method.

Keywords: Catalyst, Salen complex, Magnetic nanoparticles, Nanocomplexes, Spirooxindoles.

*Correspondent Author Email: manasseri@birjand.ac.ir

Summer2025 | Volume4 / Issue 2 | pages 67-75